



## تحلیل ساختاری، خاستگاه و شرایط دگرشکلی زون‌های برشی شکل‌پذیر در توده‌ی گرانیتوئیدی ده نو-غرب مشهد

بهنام رحیمی<sup>\*</sup>، حسین علیزاده

دانشگاه فردوسی مشهد، دانشکده علوم، گروه زمین‌شناسی

(دریافت مقاله: ۱۰/۱۱/۸۸، نسخه نهایی: ۲۳/۱۲/۸۸)

چکیده: در مجموعه‌ی دگرگونی و افیولیتی مشهد توده‌های گرانیتوئیدی در سه مرحله‌ی ماقماتیسم، نفوذ کرده‌اند. در اولین مرحله از ماقماتیسم و در تریاس پسین، (نورین،  $4 \pm 215$  میلیون سال) توده‌ی ده نو با ترکیب گرانووپوریتی-دیوریتی در این مجموعه نفوذ کرد. این توده‌ی نفوذی با زون‌های برشی شکل‌پذیر دارای روند شمال غربی-جنوب شرقی قطع شده است. این زون‌های برشی، تغییرات ساختاری شکل‌پذیر شدیدی را نشان می‌دهند. سنگ‌های توده‌ی ده نو در راستای این زون‌های برشی به پروتو میلونیت و میلونیت و اولترا میلونیت دارای برگواره‌ی پر شیب میلونیتی و خطواره‌ی کشیده کانی با میل انک تبدیل شده‌اند. نشانگرهای سمت و سوی برش نظیر بافت S-C، چین‌های نامتقارن، پورفیروکلاستهای نامتقارن، میکاهای پولک ماهی و ریز ساختار دمینو در پورفیروکلاست‌ها بیانگر آنند که تغییرات شکل‌پذیر با حرکت راستا لغز راستگرد همراه با مولفه‌ی معکوس و قبل تفسیر، به یک رژیم ترا فشارشی وابسته بوده است. کانی‌ها در سنگ‌های میلونیتی، ریز ساختارهای متنوعی نظیر خاموشی موجی و صله‌ای و صفحه‌شترنجی، شکستگی‌های برشی، تیغه‌های تغییر ساختاری، تشکیل دانه زمینه، تجدید تبلور دینامیکی از نوع BLG و SGR در دانه‌های کوارتز، تشکیل دانه زمینه، ماکل‌های دگرشکلی، پرتیت‌های شعله‌ای در فلدسپات‌ها، را نشان می‌دهند که همه‌ی آن‌ها نشان دهنده‌ی تغییرات ساختاری شکل‌پذیر در دمای  $300-500$  درجه سانتی‌گراد (شرایط رخساره‌ی بالای شیست سبز و پایین آمفیبولیت) هستند. سن و روابط میان واحدهای سنگ‌شناسی موجود در منطقه‌ی مورد بررسی بیانگر آن است که زون‌های برشی شکل‌پذیر در خال کوه‌زایی سیمرین و در بازه‌ی زمانی نورین تا ژوراسیک پیشین تشکیل شده‌اند.

واژه‌های کلیدی: زون‌های برشی شکل‌پذیر، دیوریت ده نو، مشهد.

بخش‌های میانی و عمیق پوسته هستند [۱]. زون‌های برشی عموماً به صورت موازی، مزدوج و گاه مشبك در سنگ‌های بلورین با ترکیب همگن نظیر گرانیتوئیدها، گنیس‌ها و گابروها که دستخوش شرایط دگرگونی تا رخساره‌های شیست سبز، شیست آبی و یا آمفیبولیت و گرانولیت شده‌اند، گسترش می‌یابند [۲]. زون‌های برشی شکل‌پذیر و بیژه‌ی رژیم‌های

### مقدمه

زون‌های برشی با تغییرات ساختاری شکل‌پذیر، پنهنه‌های باریکی را تشکیل می‌دهند که در آن سنگ‌ها در نتیجه‌ی تمرکز کرنش ناهمانگ نسبت به پیرامون خود تغییر ساختار یافته‌اند. این ساختارها که با پنهانی متفاوت از چند سانتی‌متر تا چند کیلومتر دیده می‌شوند از ویژگی‌های ساختاری متداول در

\* نویسنده مسئول، تلفن - نمبر: ۰۵۱۱ (۸۷۹۷۷۵)، پست الکترونیکی: b-rahimi@ferdowsi.um.ac.ir

هرسینین در شمال ایران دانسته و دگرگونی آن را نتیجه‌ی رخداد کوهزایی هرسینین می‌دانند. [۱۳] مجموعه‌ی دگرگونی افیولیتی مشهد را متشكل از سه گروه سنگی شامل سنگ‌های افیولیتی، نهشته‌های توربیدیتی دگرگون شده و سنگ‌های آذرآواری دگرگون شده تشخیص داده است. وی تغییرات ساختاری در این مجموعه را حاصل دو مرحله گسلش رورانده و سه مرحله چین خورده می‌داند که در طی دو نسل تغییرات ساختاری هم محور در کوهزایی سیمیرین رخ داده‌اند. بررسی عناصر کمیاب در گدازه‌های بازالتی در بخش افیولیتی مجموعه‌ی دگرگونی مشهد نشان داده است که گدازه‌ها از دو خاستگاه کمان ماقمایی و پوسته‌ی اقیانوسی ریشه گرفته‌اند [۱۴]. تعیین K/Ar سن مطلق نمونه‌هایی از گالبروها در این بخش به روش K/Ar توسط [۱۴] موید سن کربونیفر پسین-پرمین پیشین برای بخش افیولیتی این مجموعه است. سنگ‌ها در مجموعه‌ی دگرگونی - افیولیتی مشهد، دستخوش دو مرحله دگرگونی ناحیه‌ای شده‌اند. در دگرگونی ناحیه‌ای مرحله‌ی اول که تحت تاثیر کوهزایی هرسینین رخ داده است، سنگ‌ها تا رخساره‌ی شیست سبز دگرگون شده‌اند و با تاثیر کوهزایی سیمیرین در مرحله‌ی بعد سنگ‌ها دومین مرحله‌ی دگرگونی را تا شرایط دما و فشار پایین رخساره‌ی شیست سبز تحمل کرده‌اند [۱۵]. توده‌های گرانیتوئیدی با ترکیب تونالیت، گرانودیوریت، مونزونیت، بیوتیت-موسکوویت لوکوگرانیت و دایک‌های پگماتیتی در مجموعه‌ی دگرگونی مشهد نفوذ کرده‌اند و هاله‌های دگرگونی مجاورتی را در آن به وجود آورده‌اند. بررسی ژئوشیمی این توده‌ها نشان داده است که توده‌های یادشده از نوع S بوده و خاستگاه متفاوتی دارند. توده‌های گرانودیوریتی و تونالیتی از یک خاستگاه مافیک و توده‌های مونزونیتی با خاستگاه عمیق همراه با آلدودگی پوسته‌ای داشته و لوکوگرانیت‌ها و پگماتیت‌ها از ذوب بخشی پوسته ناشی شده‌اند [۱۵]. توده‌ی ده نو در غرب مشهد یکی از قدیمی‌ترین توده‌های نفوذی است (شکل ۱ ب).

این توده‌ی نفوذی که در فاصله زمانی میان دو مرحله‌ی دگرگونی در سنگ‌های مجموعه‌ی دگرگونی مشهد نفوذ کرده است، دارای ترکیب هورنبلند بیوتیت تونالیتی تا گرانودیوریتی است [۱۵]. منطقه‌ی مورد بررسی گستره‌ای به گستردگی ۲/۵ کیلومتر مربع را در حاشیه‌ی جنوبی این توده شامل می‌شود (شکل ۱ پ). کانسار طلای طرقه در این بخش قرار دارد. پهنه‌ی گستردگی از بخش‌های شرقی و جنوبی منطقه‌ی مورد بررسی را بیوتیت گرانودیوریت با کانی‌شناسی پلاژیوکلاز، فلدسپات پتاسمیم، کوارتز و بیوتیت به خود اختصاص داده است.

زمین‌ساختی خاصی نبوده و تقریباً در تمامی رژیم‌های زمین-ساختی تشکیل می‌شوند. در این زون‌ها معمولاً سنگ‌ها به شکل میلونیتی با برگواره و خطوط‌های گسترش یافته دیده می‌شوند. میلونیت‌ها معمولاً دارای ساختارهای مزوسکوپی و میکروسکوپی خاصی هستند که تحلیل جنبشی و تعیین شرایط فشار و دمای تغییرات ساختاری را در آن‌ها امکان‌پذیر می‌کنند. زمین‌شناسان بسیاری در نقاط جهان به بررسی و تحلیل تکامل و چگونگی گسترش دینامیکی و جنبشی زون‌های برشی شکل‌پذیر پرداخته‌اند. بررسی‌های انجام شده روی میلونیت‌ها در زون‌های برشی شکل‌پذیر نشان داده است که در تشكیل این سنگ‌ها جریان یافتنگی شکل‌پذیر، کاهش اندازه‌ی ذرات و تبلور مجدد دینامیکی بسیار اهمیت داشته‌اند. [۴،۳] بررسی‌های تجربی از جریان چسبنده و نرم شدگی حاصل از کرنش در سنگ‌های همگن بوده و برای تشكیل آن‌ها نیازی به حضور سطوح جدا شده از پیش موجود نیست [۸-۵]. برخی دیگر از پژوهشگران تمرکز کرنش برشی روی شکستگی‌های از پیش موجود نظیر درزه‌ها و گسل‌ها را در تشكیل زون‌های برشی شکل‌پذیر موثر می‌دانند [۱۱-۹].

توده‌های گرانیتوئیدی مشهد همانند بسیاری از توده‌های گرانیتوئیدی در نواحی کوهزایی، مکان مناسبی برای گسترش زون‌های برشی شکل‌پذیر بوده‌اند. در این پژوهش ویژگی‌های ساختاری در مقیاس مزوسکوپیک و میکروسکوپی، تحلیل حرکت‌شناسی و شرایط دما و فشار در شکل‌گیری و تکامل زون‌های برشی شکل‌پذیر در توده‌ی تونالیتی - گرانودیوریتی ده نو از مجموعه‌ی توده‌های گرانیتوئیدی غرب مشهد، توصیف و تحلیل می‌شوند.

#### موقعیت زمین‌شناسی

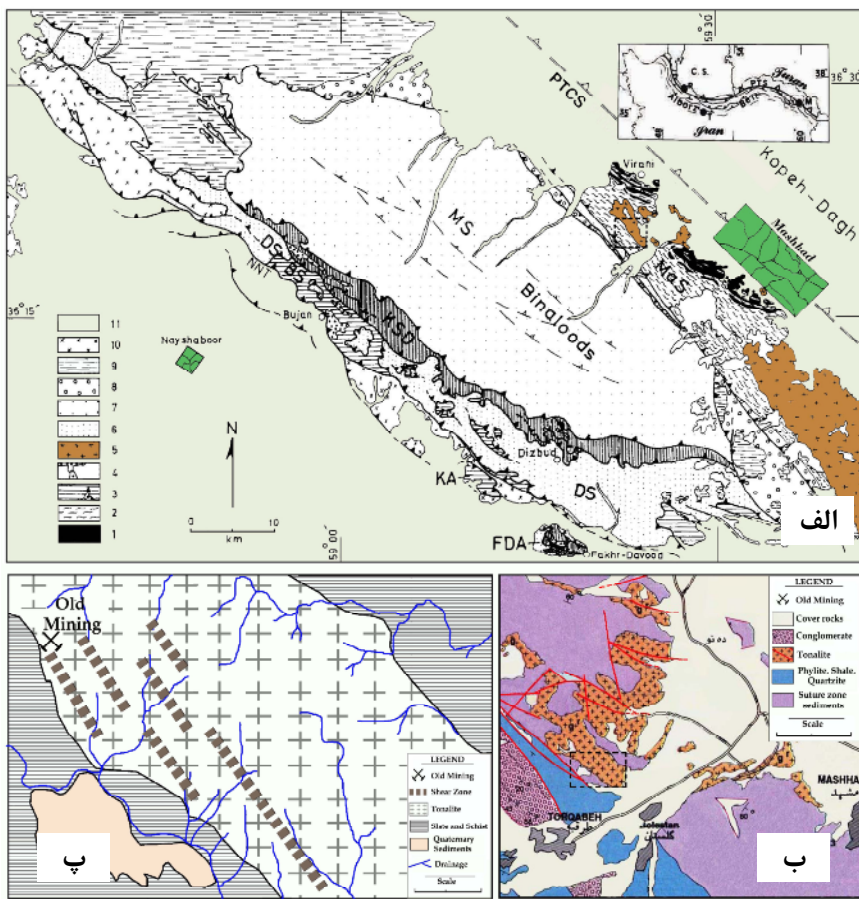
رشته کوه بینالود ارتفاعاتی را با روند شرقی جنوب شرقی-غربی شمال غربی در شمال شرقی ایران تشکیل می‌دهند. این رشته کوه از غرب به رشته جبال البرز و از شرق به کوههای پاراپامیسوس در شمال افغانستان متصل است. از سمت شمال با واسطه‌ی خط مفصلی پائوتیس با کمریند چین خوددهی کپه داغ و از جنوب به دشت نیشابور - سبزوار محدود است (شکل ۱ الف). مجموعه‌ی دگرگونی - افیولیتی مشهد به صورت نواری از سنگ‌های دگرگون در دامنه‌ی شمالی این رشته کوه رخمنون یافته است. [۱۲] با بررسی این مجموعه و مقایسه آن با سنگ‌های مشابه در شمال افغانستان، آن را بخشی از کمریند

### زون‌های برشی

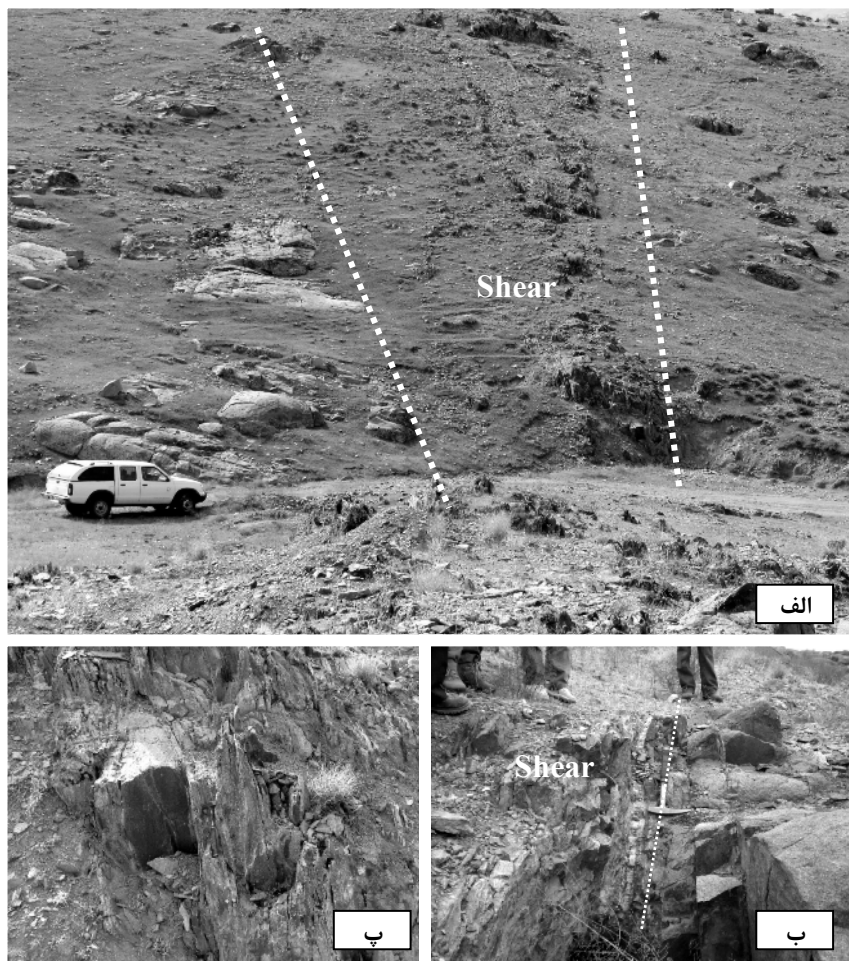
#### ویژگی‌های عمومی زون‌های برشی

زون‌های برشی در تونالیت-گرانودیوریت ده نو در تعداد و اندازه‌های متفاوت گسترش یافته‌اند. این زون‌ها در گستره‌ی معدن طلای طرق به دارای بیشترین پهنا و طول‌اند. پهنه‌ی زون‌های برشی بین ۲ تا ۸ متر تغییر می‌کند و طول آن‌ها به بیش از ۲۰۰ متر می‌رسد و روند عمومی آن‌ها NW-SE است (شکل ۲). مرز زون‌های برشی با سنگ اولیه تیز (شکل ۲ ب) و گاه تدریجی است. تغییر ساختاری شکل پذیر در این زون‌های برشی گسترش برگواره میلیونی را به صورت مشبک در آورده است (شکل ۲ پ). برگواره میلیونی، چین‌های کشیده و نامتقارن، ساختار S-C، S-C' و خط واره‌های کشیده در این زون‌های برشی از ساختارهای اصلی هستند.

کانی‌های کمیاب این توده عبارتند از آپاتیت، زیرکن و ایلمینیت و کانی‌های ثانویه آن را کلریت، کلسیت و کمی اپیدوت تشکیل می‌دهند. در رخمنون‌های این توده، بیوتیت‌ها سمت‌گیری ترجیحی ضعیفی را نشان می‌دهند و در بخش‌های جنوبی منطقه زینولیت‌هایی از واحد قدیمتر و تیره‌تر در آن دیده می‌شود. توده‌ی ده نو در بخش شمال و شمال غربی منطقه‌ی مورد بررسی دارای ترکیب هورنبلنڈ بیوتیت تونالیت است. هورنبلنڈ بیوتیت تونالیت دارای پلازیوکلار، فلدسپات پتاسیم، کوارتز، بیوتیت و به مقدار اندک آمفیبیول و کمی کلینوپیروکسن است. کانی‌های کمیاب این بخش شامل آپاتیت، زیرکن و ایلمینیت و کانی‌های ثانویه آن شامل کلریت، اپیدوت و کلسیت است [۱۵]. [۱۶] با تعیین سن مطلق به روش اورانیم-سرب، سن  $215 \pm 4$  میلیون سال (معادل تریاس پسین-نورین) را برای توده‌ی نفوذی ده نو ارائه کرده است.



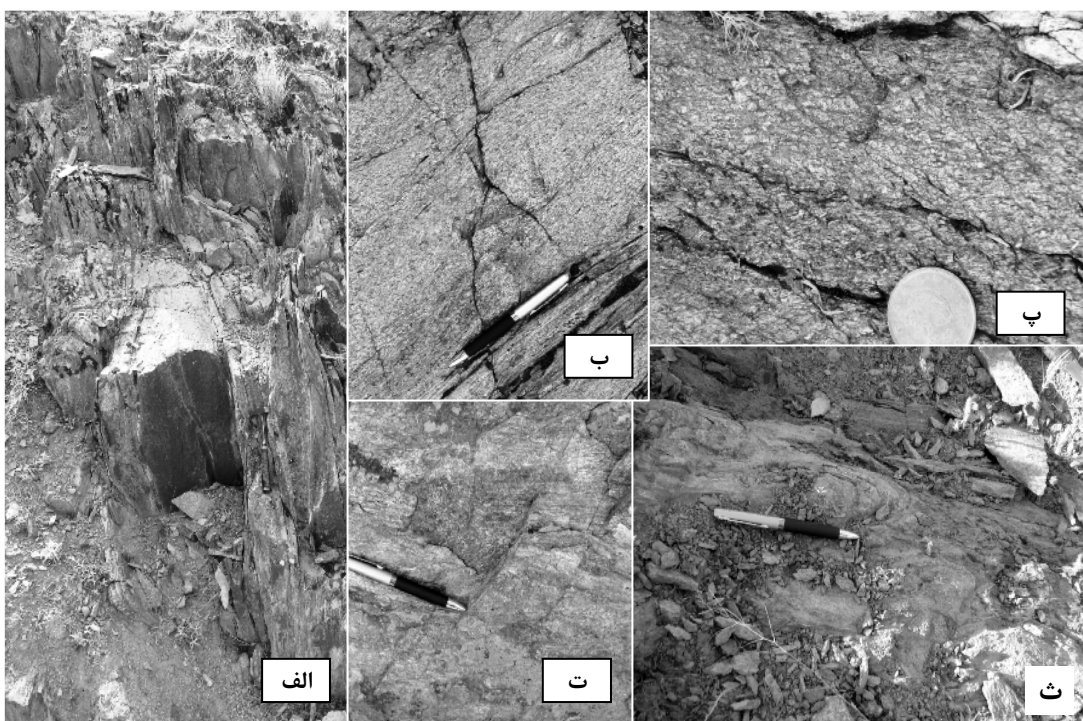
شکل ۱ (الف) نقشه زمین‌شناسی خلاصه شده از کوههای بینالود (اقتباس با تغییر از Alavi, 1991): ۱- افیولیت‌های پالتوتیس. ۲- توربیدایت‌های فلیشی عمیق دریا. ۳- کربنات‌ها و سیلیسی کلاستیک‌های تبلور مجدد یافته پالئوزویک پایینی همراه با سنگ‌های بیرونی و درونی. ۴- پلوتون‌های گرانودیوریت و گرانیت. ۵- کنگلومرا، شیل و ماسه سنگ‌های کمی دگرگون شده تریاس بالایی-ژوراسیک پایینی. ۶- کربنات و سیلیسی کلاستیک‌های ژوراسیک میانی-کرتاسه. ۷- آتشفسانی، آتشفسانی آواری و آهک‌های پالئوزن. ۸- رسوب‌های نئوزن و کواترنری. (پ) نقشه‌ی زمین‌شناسی خلاصه شده مورد بررسی و پهنه‌های مجاور در غرب مشهد.



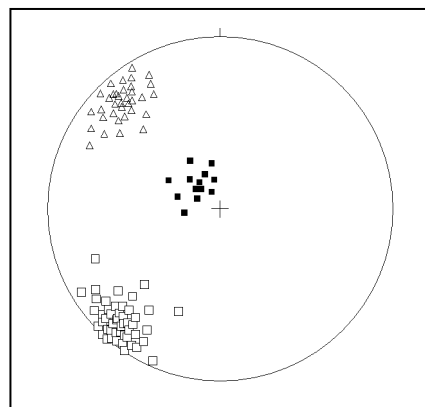
شکل ۲ (الف) نمایی از زون‌های برشی در توده‌ی گرانوڈیوریتی-تونالیتی ده نو. مرز زون برشی با خط چین مشخص شده است. (نگاه به سمت شمال غربی). (ب) مرز مشخص میان سنگ‌های تغییر ساختار یافته در زون برشی و سنگ‌ها در توده‌ی ده نو. (پ) تصویری نزدیک از زون برشی در این تصویر کلیواژ میلیونیتی به شکل مشبك اطراف بخش‌های عدسی شکلی از سنگ با دگر‌شکلی کمتر را احاطه کرده‌اند.

کمی زاویه‌دار بوده، تمایل ساعت گرد (Z شکل) دارند و سطح محوری آن‌ها موازی مرز زون‌های برشی است. خطواره کانیایی کشیده یکی دیگر از ساختارهایی است که در مقیاس رخنمون در میلیونیت‌ها دیده می‌شود. این ساختار که روی سطح برگواره میلیونیتی قرار دارد، از تجمع کانی‌هایی نظیر کوارتز، فلدسپات و بیوتیت تشکیل شده است (شکل ۳ ت). بر جسته‌نگاشت (اتریوگرام) شکل ۴ موقعیت عناصر هندسی ساختارهای مزوسکوپیک در زون‌های برشی مورد بررسی را نشان می‌دهد. برگواره میلیونیتی در زون‌های برشی مورد بررسی دارای موقعیت میانگین N48W, 77NE بوده و خطواره‌های کانیایی با موقعیت میانگین W43N, 16W روی آن قرار گرفته‌اند. موقعیت میانگین محور چین‌ها 74N, 45W است.

**ویژگی‌های مزوسکوپیک زون‌های برشی**  
 تونالیت - گرانوڈیوریت ده نو در زون‌های برشی تحت تاثیر تغییرات ساختاری شکل پذیر بافت میلیونیت را نشان می‌دهد. میلیونیت‌ها بر اساس نسبت پورفیروکلاست به ماتریس قابل ردیابی در رده‌ی پروتومیلیونیت، میلیونیت هستند (شکل ۳ الف و ب). تغییر بافت در سنگ‌های میلیونیتی بیانگیر تغییرات نرخ کرنش در این زون‌هاست. میلیونیت‌ها در این زون‌های برشی با گسترش برگواره‌ای نافذ میلیونیتی مشخص هستند (شکل ۳ ب). برگواره میلیونیتی در برخی مناطق از زون برشی، ویژگی ساختار S-C را به نمایش می‌گذارد (شکل ۳ پ). برگواره میلیونیتی در برخی مناطق به صورت چین‌های یکبر با میل زیاد چین خورده‌اند (شکل ۳ ث) چین‌ها دارای لولای مدور تا



شکل ۳ (الف) نمایی نزدیک از سنگ‌های پروتومیلونیتی و میلونیتی در زون‌های برشی مورد بررسی کلیواژ میلونیتی در بخش‌های میلونیتی گسترش بیشتری یافته است. (ب) نمایی نزدیک تر از میلونیت‌ها و پروتومیلونیت‌ها در زون‌های برشی مورد بررسی. (پ) ساختار S-C در میلونیت‌ها. این ساختار معرف سمت و سوی برش راستگرد در زون‌های برشی مورد بررسی است (ت) خط واره‌ی کشیده کانی در سطح کلیواژ اسلیتی. (ث) چین‌های کشیده Z شکل با تمایل به سمت شمال غربی در زون‌های برشی مورد بررسی.



شکل ۴ تصویر بر جستنگار (استریوگرافیک) قطب سطوح کلیواژ میلونیتی (مربع توخالی)، خطواره‌های کشیده کانی (مثلث توخالی) و محور چین‌های کشیده (مربع توپر).

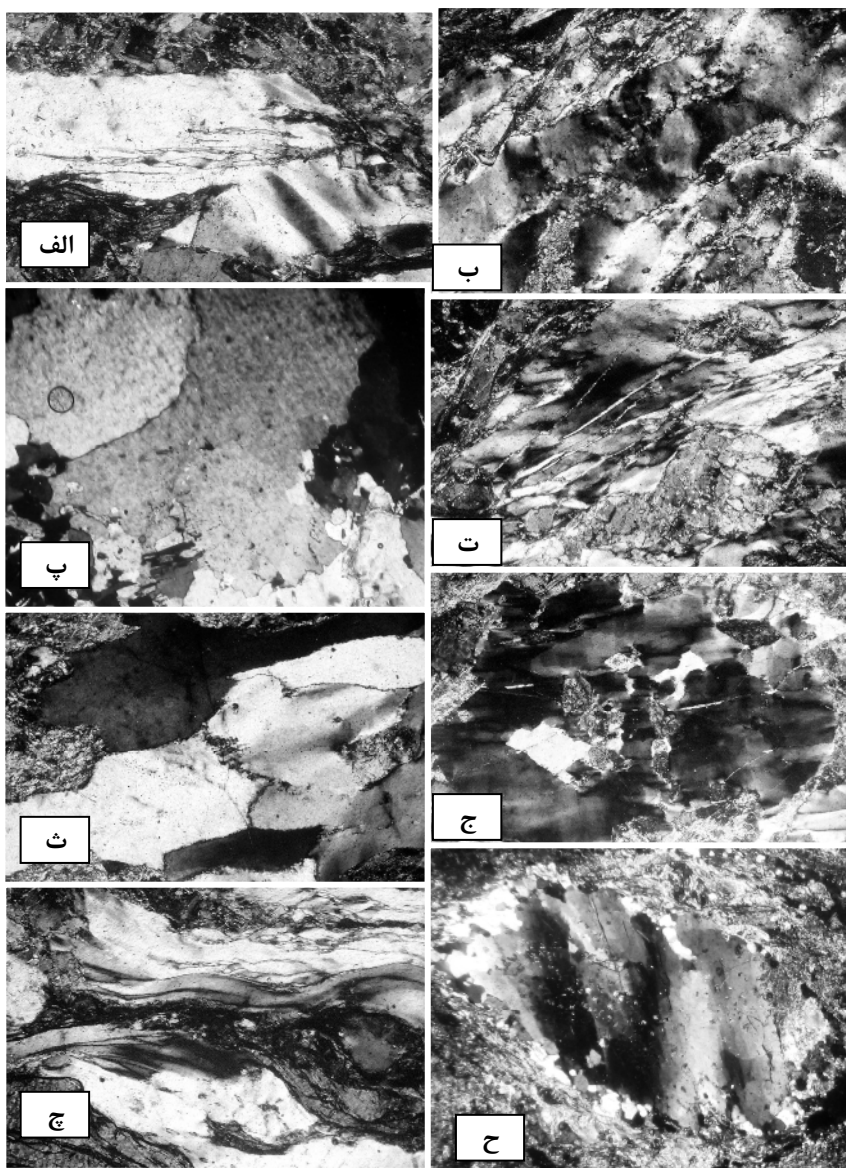
سمت‌گیری ترجیحی ریز دانه‌های کوارتز، فلدسپات و بیوتیت و کلریت تشکیل شده است. کانی‌های عمدتی موجود در سنگ‌های میلونیتی دارای ریز ساختارهایی هستند که در زیر به آن‌ها اشاره خواهد شد.

کوارتز: کانی کوارتز در زون‌های برشی مورد بررسی دارای ریز ساختارهای متنوعی نظیر کینک شدگی، خاموشی موجی، تیغه‌های دگرشکلی، تشکیل ریزدانه، نوارها و شکستگی‌های

ویژگی‌های میکروسکوپی ریز ساختارها در زون‌های برشی سنگ‌های میلونیتی در زون‌های برشی مورد بررسی از دو بخش زمینه‌ی و پورفیروکلاست تشکیل شده‌اند. پورفیروکلاست‌ها شامل عدسی‌هایی از جنس کوارتز، فلدسپات و بیوتیت هستند که در زمینه‌ای از ذرات ریز دانه و تجدید تبلور یافته کوارتز و فلدسپات قرار گرفته‌اند. برگواره‌ی میلونیتی در این سنگ‌ها به صورت دو سطح C و C' دیده می‌شود. این برگواره‌ها از تجمع و

مهاجرت مرز دانه‌ای (Grain boundary migration) به صورت لخته (Lobate) درآمده است و تجدید تبلور دینامیکی از نوع قلمبهای BLG (Bulging Recrystallisation) به مقدار ضعیف در مرز دانه‌ها و نیز در راستای شکستگی‌های برشی و به ویژه در نقاط تماس سه گانه دانه‌های کوارتز روی داده است (شکل ۵ ث). این ریز ساختارها گویای تاثیر فرایند دررفتگی ساختار شبکه کانی است.

برشی و تجدید تبلور دینامیکی از ساختهای میکروسکوپی متداول کوارتزها در این زون‌های برشی هستند (شکل ۵). کانی کوارتز در پروتومیللونیت‌ها در نتیجه‌ی گسترش نوارهای دگرشکل کینک شده می‌شوند (شکل ۵ الف) و دانه‌های نسبتاً خاموشی موجی از نوع پینه‌ای (Patchy) درشت هستند (شکل ۵ ب). تیغه‌های دگرشکل (شکل ۵ پ) و نیز شکستگی‌ها و نوارهای برشی (شکل ۵ ت) از ریز ساختارهای متداول در این سنگ‌هاست. مرز دانه‌ها به دلیل پدیده‌ی



شکل ۵ تصاویر میکروسکوپی از ریز ساختارهای کوارتز در زون‌های برشی مورد بررسی درنور XPL (طول تصاویر برابر  $1/2$  میلیمتر است): (الف) کینک شدگی و شکستگی در دانه‌های کوارتز. (ب) خاموشی پینه‌ای در دانه‌های کوارتز. (پ) تیغه‌های دگرشکلی در دانه‌های کوارتز (گوشی پایین سمت راست به گوشی بالای سمت چپ). (ت) نوارها و شکستگی‌های برشی در دانه‌های کوارتز. (ث) تجدید تبلور دینامیکی از نوع BLG در مرز دانه‌های کوارتز. (ج) خاموشی صفحه شطرنجی در دانه‌های کوارتز. (چ) روبان‌های کوارتز در میللونیت‌ها. (ح) ریز ساخت هسته-پوشش در دانه‌های کوارتز در میللونیت‌ها.

خاموشی پینه‌ای و بودین شدگی را به خوبی نشان می‌دهند (شکل ۶). ساختارهایی نظیر قطعات دومینو مانند<sup>۲</sup> در فلدسپات‌ها و در نتیجه گسترش گسل‌ها و چرخش قطعات، تشکیل شده است (شکل ۶ ب، ت، ث). در فضای میان قطعات، گاهی کوارتز، کلریت و بیوتیت گسترش یافته‌اند (شکل ۶ پ، ت). ماکلهای دگرشكلي از ریز ساختارهای دیگری هستند که در فلدسپات‌ها به ویژه دانه‌های آلبیت دیده می‌شوند (شکل ۶ ج). فلدسپات‌ها در پروتومیلونیت‌ها، به ویژه در پهنه‌های با کرنش کمتر حاشیه نامنظم و خورده شده دارند (شکل ۶ ج). در این مناطق فلدسپات‌ها کمتر تحت تأثیر تجدید تبلور دینامیکی قرار گرفته‌اند. در میلونیت‌ها دانه‌های فلدسپات تجدید تبلور دینامیکی به شکل BLG و SGR را به نمایش می‌گذارند. در نتیجه‌ی پیده‌ی قلمبه‌ای (Bulging) در حاشیه و نیز چرخش ریزدانه‌ها، دانه‌های جدید و ریزی در حاشیه فلدسپات‌ها تشکیل شده است. گسترش دانه‌های جدید تبلور یافته آنقدر نیست که ساختار هسته و پوشش خوبی را نشان دهند. پرتیت‌های شعله‌ای از ریز ساختارهای دیگری هستند که در فلدسپات قلیایی، به ویژه در حاشیه آن‌ها گسترش یافته‌اند (شکل ۶ ح). در این ساختار تیغه‌های شعله‌ای شکلی از آلبیت در داخل فلدسپات قلیایی تشکیل می‌شوند که حاصل دگرسانی پلاژیوکلازها و تشکیل سرسيت‌اند [۱۸].

بیوتیت‌ها: بیوتیت‌ها در سنگ‌های میلونیتی و پروتومیلونیتی زون‌های برشی مورد بررسی، به دو شکل مجرزا و انبوهه‌های کشیده همراه با کلریت دیده می‌شوند. بلورهای مجرزا، حاشیه‌های بریده داشته و تقریباً در تمامی آن‌ها خاموشی موجی و نیز چین خورده‌گی کینک به خوبی دیده می‌شود (شکل ۷ الف). بیوتیت‌های درشت در راستای رخ‌ها قطعه قطعه و جابجا شده و ساختار پولک ماهی را به وجود آورده‌اند (شکل ۷ ب).

### نشانگرهای سمت و سوی برش و تحلیل جنبشی زون‌های برشی

زون‌های برشی با تغییرات ساختاری شکل پذیر دارای ریزساختارهایی هستند که در مقیاس مزووسکوپی و میکروسکوپی بیانگر سمت و سوی برش در آن‌هاست. نشانگرهای متعددی از زون‌های برشی در نقاط مختلف

در میلونیت‌ها، دانه‌های کوارتز به صورت کشیده و بیضوی در زمینه دیده می‌شوند و دارای دانه‌های کوارتز با خاموشی موجی از نوع روبشی و گاه شطرنجی ضعیف هستند (شکل ۵ ج). کوارتز به صورت روبان یا نواری با طول ۰،۲ تا ۰،۸ میلی‌متر و پهنه‌ای ۴۰۰ تا ۲۰۰ میکرومتر دیده می‌شود. روبان‌های طوبیل-تر گاهی چین خورده و خمیده‌اند (شکل ۵ ج). گسترش فرایند تجدید تبلور دینامیکی از نوع BLG و آغاز تجدید تبلور دینامیکی از نوع SGR موجب تشکیل و گسترش ریزدانه جدید در اطراف دانه‌های کوارتز قدیمی و ایجاد ساختار هسته و گوشته<sup>۱</sup> در آن‌ها شده است (شکل ۵ ح). ریزدانه‌ها در کوارتز در این ساختار در دو اندازه دیده می‌شوند: (الف) دانه‌ها نسبتاً درشت بوده و در وسط دانه‌ی قدیمی تشکیل شده‌اند و (ب) ریزدانه‌هایی که ابعادی در اندازه دانه‌های تجدید تبلور یافته داشته و در حاشیه‌ی دانه‌های کوارتز دیده می‌شوند.

تجدد تبلور دینامیکی در میلونیت‌ها بیشتر از پروتومیلونیت‌ها بوده و تقریباً تا ۲۵ درصد دانه‌ها را شامل می‌شوند. تجدید تبلور دینامیکی کوارتز از نوع BLG در پروتومیلونیت‌ها متدالوی است و ویژگی‌های ریزساختاری کوارتز در آن‌ها مشابه با ویژگی‌های مرحله‌ای اول مراحل مهاجرت مرز دانه‌ای است که [۱۷] بر پایه‌ی بررسی‌های تجربی تجدید تبلور دینامیکی در کوارتز ارایه کرده‌اند. حال آنکه در میلونیت‌ها تجدید تبلور بیشتر از نوع SGR بوده و با ویژگی‌های مرحله دوم از مراحل مهاجرت مرز دانه‌ای همخوانی دارد.

فلدسپات‌ها: ماکلهای دگرشكلي، خاموشی موجی، تشکیل ریزدانه‌ها، تجدید تبلور دینامیکی و گسترش شکستگی‌های برشی و گسل‌ها از ریزساختارهایی هستند که در فلدسپات‌ها دیده می‌شوند. فلدسپات‌ها به صورت درشت دانه‌های پورفیروکلاست و نیز به صورت ریز دانه‌های تجدید تبلور یافته در زمینه دیده می‌شوند. فلدسپات‌ها به ویژه فلدسپات‌های قلیایی دگرسانی به سریسیت را در مقیاس گستردگی در زمینه سنگ به خوبی نشان می‌دهند. پورفیروکلاست‌ها، موازی و یا تقریباً موازی برگوارگی میلونیتی هستند. فلدسپات‌ها در پروتومیلونیت‌ها، ساختارهایی نظیر خمیدگی ماکلهای گسترش شکستگی‌ها و نوارهای برشی، گسل‌ها و سطوح لغزشی و نیز

ساختارهای پولک ماهی میکا در این زون‌های برشی به گروههای ۱، ۲ و ۶ از رده‌بندی ارائه شده توسط [۱۹] وابسته‌اند. این ریز ساختارها در نتیجه‌ی چرخش و سمت‌گیری به موازات برگواره‌گی و کشیدگی و خمش در راستای سطوح C' در میلونیت‌ها ایجاد شده‌اند. پورفیروکلاستهای شکسته شده با ساختار دومینویی از ریز ساختارهای دیگری است که در فلدسپات دیده می‌شوند. در این ریز ساختار بلورهای فلدسپار با تشکیل سطوح لغزش قطعه قطعه شده، به‌شکل دومینو جابجا و چرخیده‌اند (شکل ۶ پ، ث). نشانگرهای سمت و سوی برش در زون‌های برشی مورد بررسی تماماً بیانگر برش راستگرد در زون‌های برشی است. از سوی دیگر موقعیت خطوطاره‌ها در سطوح برگواره‌ی میلونیتی (ریک آن‌ها) نیز حکایت از وجود یک مولفه‌ی اندک شیب لغز معکوس در این زون‌های برشی است. بنابراین نوع لغزش هنگام تشکیل این زون‌های برشی بر پایه نشانگرهای سمت و سوی برش، راستالغز راستگرد با مولفه‌ی اندک شیب لغز معکوس بوده است.

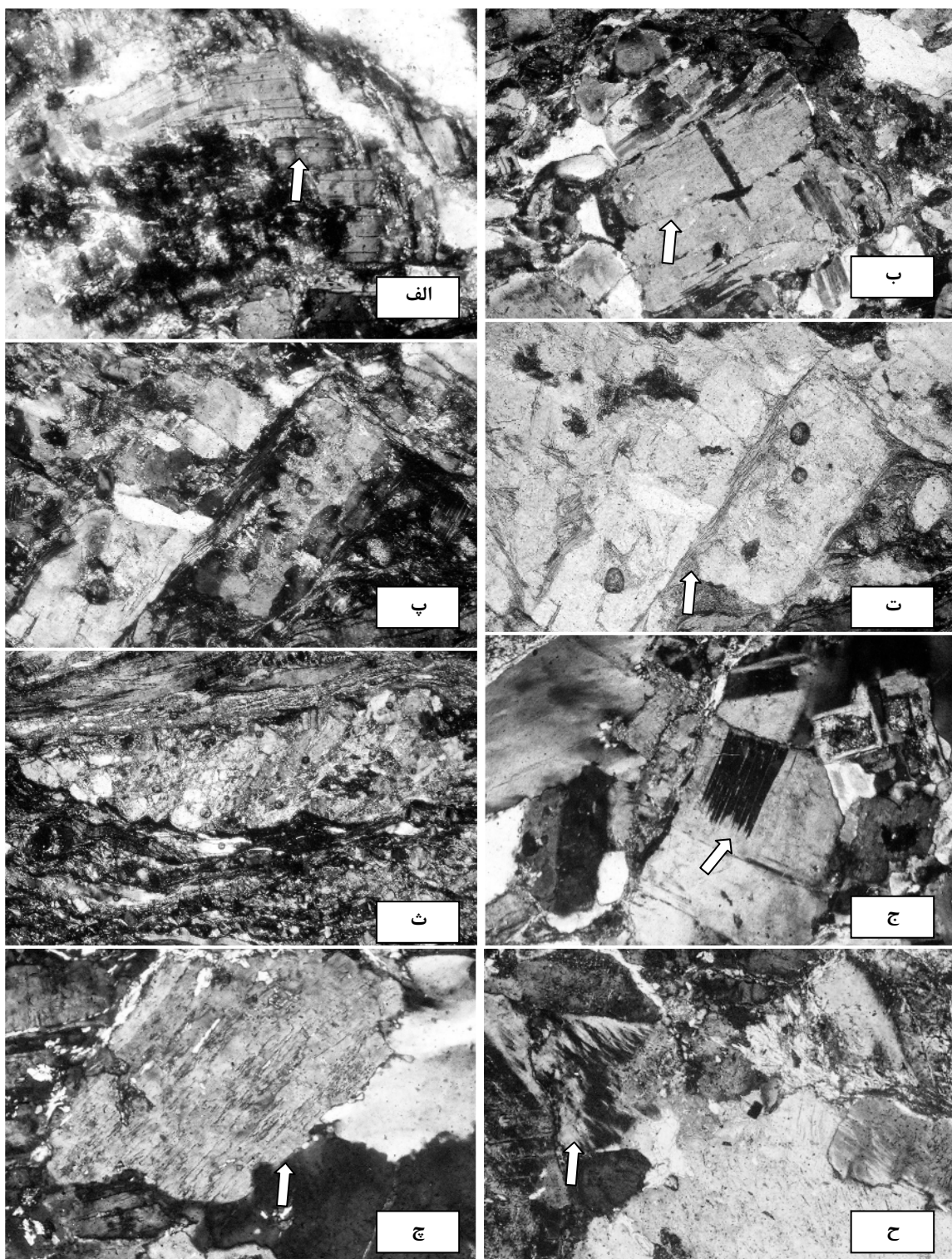
### چگونگی دما هنگام دگرشكلي در زون‌های برشی

ریز ساختارهای ایجاد شده در کانی‌ها طی تغییرات ساختاری در یک زون برشی شکل‌پذیر ابزار مفیدی برای براورده دمای دگرشكلي است. رفتار کانی‌ها طی فرایند تغییر ساختاری و نیز ساختارهای ایجاد شده در آن‌ها توسط پژوهشگران مختلف مورد بررسی قرار گرفته است [۲۰، ۲۱، ۱۷].

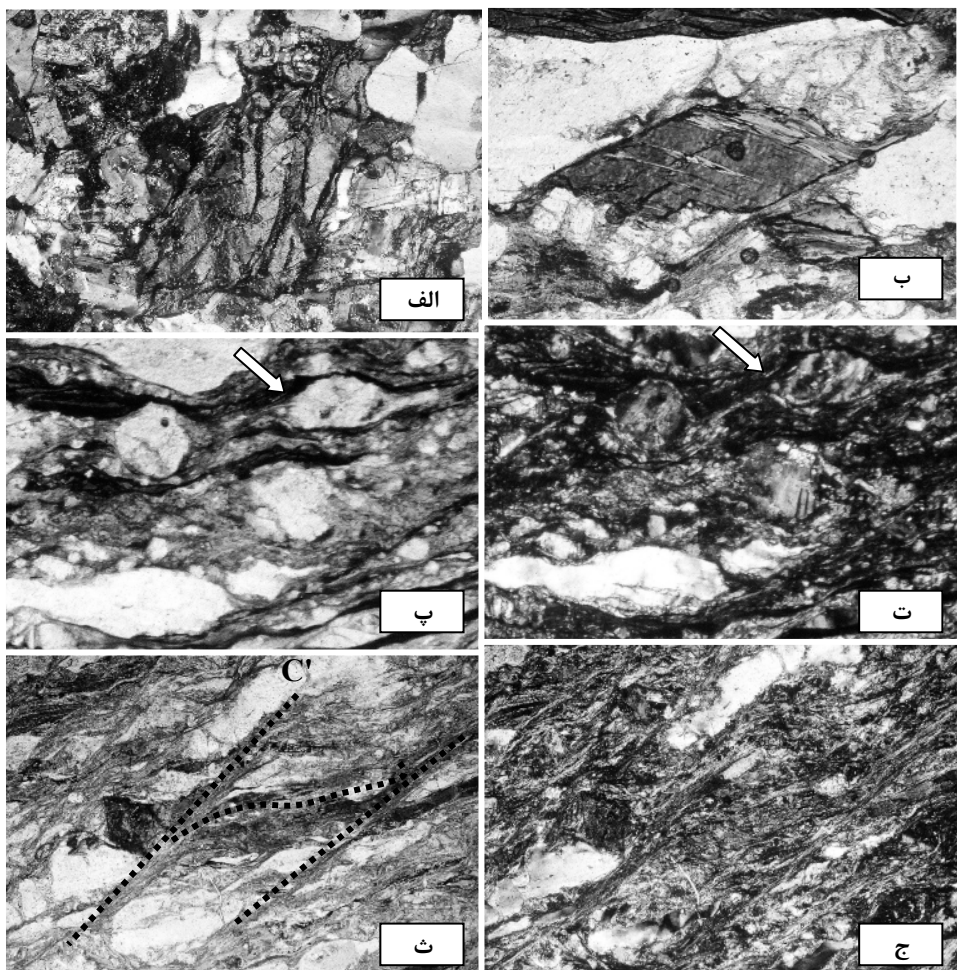
مقایسه‌ی رفتار کانی‌ها در زون‌های برشی به ویژه رفتار کوارتز، فلدسپار و بیوتیت با نتایج حاصل از بررسی‌های یاد شده می‌تواند به براورده دما هنگام تغییر ساختاری منجر شود. در مرجع [۲۴] با جمع‌بندی نتایج بررسی پژوهش‌های مختلف، توصیف دقیقی از تغییرات ساختاری کانی‌های کوارتز، فلدسپات و بیوتیت در شرایط و رژیم‌های مختلف دمایی ارایه شده است. در دمای کمتر از ۳۰۰ درجه سانتی‌گراد، زیر ساختارهای موجود در کوارتز بیشتر شامل خاموشی موجی، انحلال فشاری، شکستگی‌های برشی و کینک شدگی است. فلدسپات‌ها در این رژیم دمایی، معمولاً تغییرات ساختاری شکننده‌ای را به صورت خردشده، گسترش شکستگی‌ها و گسل‌ها، بودین شدن و جابه جایی قطعات به نمایش می‌گذارند. تغییر ساختاری بیوتیت‌ها نیز در شرایط پایین دما منجر به گسترش چین‌خوردگی، کینک شدگی و خاموشی موجی در آن‌ها خواهد شد.

شناسایی و در تحلیل جنبشی این زون‌ها به کار رفته‌اند. برای مشاهده و بررسی نشانگرهای سمت و سوی برش، مقاطع نازکی از سنگ‌های میلونیتی به موازات خطوطاره‌ها و عمود بر برگواره‌ی میلونیتی تهیه شدند. نشانگرهای سمت و سوی برش متداول در میلونیت و پروتومیلونیت‌های زون‌های برشی مورد بررسی، از پورفیروکلاستهای پوششی نامتقارن، برگواره‌های مایل، نوارهای برشی، میکاهای پولک ماهی، پورفیروکلاستهای شکسته شده با ساخت دومینو مانند تشکیل شده‌اند.

پورفیروکلاستهای نامتقارن در اندازه‌های ۵۰ تا ۱۰۰ میکرومتر در میلونیت‌ها دیده می‌شوند. هسته از جنس فلدسپات و کوارتز و دنباله از انواعه‌ی ذرات ریز و تجدید تبلور یافته کوارتز، فلدسپات و کلریت تشکیل شده‌اند. (شکل ۷ پ، ث) پورفیروکلاست‌ها به دو شکل ۵ و ۶ تشکیل شده‌اند و دنباله‌ها در برخی از آن‌ها طویل و در دو سوی آن‌ها دیده می‌شوند. نوارهای برشی به دو شکل S-C و S-C' در میلونیت‌ها و پروتومیلونیت‌های زون‌های برشی مورد بررسی دیده می‌شوند. سطوح S با دانه‌های کشیده فلدسپات، کوارتز و بیوتیت و نیز سمت‌گیری دانه‌های تجدید تبلور یافته کوارتز مشخص می‌شوند. سطوح C برگواره‌ی اصلی میلونیتی بوده و از اجتماع و سمت‌گیری بیوتیت، کلریت و دانه‌های تجدید تبلور یافته کوارتز و فلدسپات تشکیل شده‌اند. این سطوح تقریباً صاف و ممتد بوده و با زاویه‌ی ۵ تا ۲۰ درجه با سطوح S دیده می‌شوند. سطوح C' به صورت مایل نسبت به برگواره اصلی میلونیتی قرار گرفته‌اند (شکل ۷ ث، ج). این سطوح که زاویه‌ی ۲۵-۳۵ درجه را با برگواره‌ی اصلی میلونیتی می‌سازند، با طول-های متفاوت و به صورت غیر ممتد دیده می‌شوند. میکاهای پولک ماهی از ریز ساختارهای دیگری است که در سنگ‌های میلونیتی زون‌های برشی مورد بررسی دیده می‌شوند. این ریز ساختار که از متداول‌ترین ریز ساختارهای نشانگر برش در زون‌های برشی شکل‌های پذیر است به اشکال مختلف در سنگ‌های میلونیتی در زون‌های برشی دیده می‌شوند. کانی بیوتیت در مقاطع میکروسکوبی سنگ‌های میلونیتی زون‌های برشی مورد بررسی ریز ساختاری پولک ماهی را به خوبی به نمایش می‌گذارند (شکل ۷ ب). ویژگی‌های هندسی این ریز ساختار در زون‌های برشی مورد بررسی و ارتباط آن‌ها با برگوارگی میلونیتی و نوارهای برشی بیانگر آن است که ریز



شکل ۶ تصاویر میکروسکوپی از ریز ساختارها در فلذسپات‌ها در زون‌های برشی مورد بررسی در نور XPL (طول تصاویر برابر ۱/۲ میلیمتر است).  
 الف) خمیدگی ماکل‌ها در پلازیوکلازها. ب) گسترش شکستگی‌ها، سطوح لغزش در فلذسپات‌ها (آلیت). پ) ساختار بودن‌های دومینوی در پلازیوکلازها در نور PPL. ث) ریز ساختار دو مینوی در پلازیوکلاز. این ساختار معرف سمت و سوی برش راستگرد در زون-XPL است. ج) ماکل‌های تغییر ساختاری در پلازیوکلازها. ج) حاشیه لخته‌ای (lobate) میان کوارتز و فلذسپات. ح) پرتیت‌های شعله‌ای در فلذسپات‌های قلیایی.



شکل ۷ (الف) چین خوردگی و ژولیدگی نوار باند در بلورهای بیوتیت‌ها. (ب) ریز ساختار پولک ماهی در بیوتیت‌ها معرف سمت و سوی برش راستگرد در میلونیت‌ها. (پ) پورفیرو کلاست‌های پوششی از نوع ۶ و ۵ در میلونیت‌ها در نور XPL. (ت) در نور PPL. (ث) ساختار S-C در میلونیت‌ها در نور XPL و (ج) ساختار S-C' در میلونیت‌ها در نور PPL. (طول هر یک از تصاویر برابر ۱/۲ میلیمتر است).

کوارتز گسترش می‌یابند و ساختار هسته و پوشش از ریز ساختارهای موجود در دانه‌های کوارتز در این مرحله است [۲۱]. فلدسپات‌ها این شرایط دمایی را با گسترش شکستگی‌های ریز، خاموشی موجی، کینک شدگی، گسترش ماکل‌های دگرگشکل و نیز پرتیت‌های شعله‌ای به نمایش می‌گذارند. تجدید تبلور دینامیکی به مقدار اندک در کرانه‌های فلدسپات‌ها در این شرایط دمایی آغاز می‌شود [۴].

در شرایط دمایی بالا ( $>500^{\circ}\text{C}$ ), تجدید تبلور دینامیکی در این شرایط به صورت GBM و تحت تأثیر فرایندهای تجدید تبلور و مهاجرت مرز دانه‌ای صورت می‌گیرد [۲۱]. خاموشی موجی صفحه شطرنجی با گسترش ریزدانه‌های بلوکی در دانه‌های کوارتز در این شرایط ایجاد می‌شود. حاشیه دانه‌های

در دمای بالاتر ( $300-400^{\circ}\text{C}$ ) تیغه‌های دگرگشکلی و نیز خاموشی موجی در کوارتزها گسترش می‌یابند. تجدید تبلور دینامیکی به شکل قلمبهای در این شرایط دمایی و بیشتر در حاشیه‌ی دانه‌های کوارتز و در راستای سطوح شکستگی ایجاد می‌شود [۲۱]. تغییرات در این رژیم دمایی در فلدسپات‌ها شامل خمیدگی در ماکل‌ها، تشکیل ماکل‌های دگرگشکل و تشکیل ریزدانه‌ها و گسترش خاموشی موجی است. گسترش بیشتر چین خوردگی و کینک شدگی در بیوتیت‌ها در این شرایط دما صورت می‌گیرد.

در رژیم دمایی متوسط ( $400-500^{\circ}\text{C}$ ) تجدید تبلور دینامیکی به شکل BLG و چرخش ریز دانه‌ای SGR<sup>3</sup> در

نیز در زمانی جوانتر از پرمین انجام شده باشد. تغییرات ساختاری و تشکیل زون های برشی شکل پذیر در توده های گرانودیوریتی - تونالیتی ده نو، فرایندی است که پس از نفوذ این توده ها رخ داده است. سن مطلق توده های گرانودیوریتی - دیوریتی ده نو (تریاس پسین - آشکوب نورین [۱۶]) و نیز عدم حضور زون های برشی مورد بررسی در سنگ های جوانتر از لیاس در منطقه های مورد بررسی، بازه های سنی تشکیل این زون های برشی را از بالا به لیاس و از پایین به نورین محدود می سازد. بنابراین می توان چنین استدلال کرد که تغییر ساختاری و تشکیل زون های برشی شکل پذیر در این فاصله زمانی رخ داده است. با این استدلال، تشکیل زون های برشی شکل پذیر را می توان بخشی از تغییرات ساختاری دانست که حاصل تاثیر کوهزایی سیمیرین بوده است.

#### برداشت

زون های برشی شکل پذیر در گستره هی معدن طلای طرقه واقع در بخش جنوبی توده های گرانودیوریتی - تونالیتی ده نو، پهنه های برشی شکل پذیری به عرض چند متر را با تغییرات ساختاری شدید و گسترش برگوارگی میلیونیتی به نمایش می گذارند. بررسی ساختاری این پهنه های برشی نتایج زیر را فراهم آورده است:

۱) تغییر ساختاری برشی ساده و شکل پذیر در این زون های برشی تبدیل سنگ گرانودیوریت - تونالیت ده نو به میلیونیت و پروتومیلیونیت را سبب شده است. گسترش برگواره های میلیونیتی با موقعیت میانگین N48W, 77NE و نیز خطواره های Z شکل با موقعیت میانگین محور N43W, 16 و نیز چین های Z مزوسکوپیک در این زون های برشی است.

۲) بررسی ریز ساختارهای نامتقارن و معرف سمت و سوی حرکت نظیر ساختارهای S-C و C-S، پولک ماهی، ساختار δ و δ نیز پورفیرو کلاستهای پوششی δ و δ بیانگر کرنش نامتقارن و سمت و سوی حرکت راستگرد با مؤلفه هی شب لغز معکوس در این زون های برشی است.

۳) بررسی تغییرات ساختاری در کوارتز، فلدوپات و بیوتیت و چگونگی تجدید تبلور دینامیکی در دانه های کوارتز، فلدوپات بیانگر آن است که تغییرات ساختاری در این زون های برشی در شرایط شیست سبز تا رخساره هی پایین آمفیولیت ( $300^{\circ}\text{C}$ ) رخ داده است.

کوارتز به صورت بریده و آمیبی است و دانه ها در نتیجه هی تجدید تبلور سریع، ظاهری بی کرنش<sup>۴</sup> را به نمایش می گذارند. ریز ساختارهای موجود در کوارتز در سنگ های میلیونیتی زون های برشی مورد بررسی بیانگر تغییرات ساختاری پلاستیک در شبکه های کانی ها نظیر گسترش و تشکیل ریزدانه ها، خاموشی موجی، تیغه های دگرگشکلی و تجدید تبلور دینامیکی به شکل BLG و SGR است. دانه های فلدوپات نیز در این زون های برشی، ریز ساختارهای شکننده و شکل پذیری را به نمایش می گذارند که از آن جمله می توان به شکستگی ها، بودین شدگی، خمیدگی ماکل ها، پرتیت های شعله ای، ماکل های دگرگشکلی، رشد ریزدانه ها، خاموشی موجی و تجدید تبلور دینامیکی اشاره کرد. ساختارهای موجود که به تفصیل در بخش قبل به آن ها اشاره شد بیانگر رژیم دمایی حاکم بر زون های برشی مورد بررسی هستند. با مقایسه ریز ساختارها در کوارتز، فلدوپات و بیوتیت در میلیونیت ها و پروتومیلیونیت ها در زون های برشی مورد بررسی با الگوی دمایی یاد شده نشان می دهد که دما هنگام تشکیل این سنگ ها در زون های برشی مورد بررسی بین ۳۰۰-۵۰۰ درجه سانتی گراد بوده است. پروتومیلیونیت ها در رژیم دمایی کمتر میان ۳۰۰-۴۰۰ درجه سانتی گراد و میلیونیت ها در رژیم دمایی بیشتر ۴۰۰-۵۰۰ درجه سانتی گراد و گراد و گاهی اندکی بیشتر از ۵۰۰ درجه سانتی گراد تشکیل شده اند. این شرایط دمایی قابل قیاس با شرایط دمایی در زون شیست سبز تا رخساره هی پایین آمفیولیت و یا در عمق تقریبی معادل ۱۰ کیلومتر در پوسته اند.

#### بررسی سن دگرگشکلی در زون های برشی

تعیین سن زون های برشی در منطقه هی مورد بررسی به دلیل عدم وجود اطلاعات دقیق ایزوتوپی کار دشواری است، ولی می توان با تکیه بر شواهد زمین شناسی و نیز تقدم و تأخیر واحد های موجود در منطقه هی مورد بررسی و نیز ارتباط آن ها با یکدیگر، پیشنهادی برای سن تشکیل این زون های برشی ارایه کرد. چنانکه قبل از اشاره شد، توده های گرانودیوریتی - تونالیتی ده نو در مجموعه هی دگرگونی افیولیتی مشهد نفوذ کرده است. تعیین سن ارایه شده توسط [۱۴] برای توده های هورنبلند گابرو در مجموعه هی مشهد  $276_{\pm 4}^{\pm 6}$  و  $287_{\pm 4}^{\pm 6}$  بیانگر آن است که نفوذ توده های باید در زمانی جوانتر از پرمین پیشین و به پیروی از آن جایگیری این مجموعه افیولیتی - دگرگونی

4 . Strain free

- (Eds.), "The Brittle-Ductile Transition", *The Heard volume*. American Geophysical Union Monograph, 56 (1990), 67-82.
- [11] Pennacchioni G., "Control of the geometry of precursor brittle structures on the type of ductile shear zone in the Adamello tonalites, Southern Alps (Italy)", *Journal of Structural Geology* 27 (2005), 627-644.
- [12] Majidi B., "The geochemistry of ultra basic and basic lava flows occurrences in northeastern Iran, In *Geodynamic project in Iran*". Geological Survey of Iran, 51 (1983), 463-477
- [13] Alavi M., "Sedimentary and structural characteristics of the Paleo-Tethys remnants in northeastern Iran". *Geological Society of America Bulletin*, 103 (1991): 983-992.
- [14] Ghazi M., Hassaniak A.A., Tucker P.J., Mobasher K., 2001, "Geochemistry and 40Ar-39Ar ages of the Mashhad Ophiolite, NE Iran". Abstracts as: *Eos. Trans. AGU*, 82 (47), (2001) Fall Meet.
- [15] Karimpour M.H., Farmer L., Ashori C., Saadat S, "Major, Trace and REE geochemistry of Paleo-Tethys Collision-Related Granitoids from Mashhad, Iran", *Journal of Science, Islamic Republic of Iran*, 17 (2006), 127-145.
- [16] Karimpour M.H., Stern C.R., Farmer G.L., "Zircon U-Pb geochronology, Sr-Nd isotope analyses, and petrogenetic study of the Dehnow diorite and Kuhsangi granodiorite (Paleo-Tethys), NE Iran", *Journal of Asian Earth Sciences*, 37 (2010), 384-393.
- [17] Hirth G, Tullis J., "Dislocation creep regimes in quartz aggregates", *Journal of Structural Geology*, 14 (1992), 145–159.
- [18] Pryer L.L., Robin P.Y.F., "Retrograde metamorphic reactions in deforming granites and the origin of flame perthite", *Journal of Metamorphic Geology*, 14 (1995), 645–658.
- [19] Ten Grotenhuijsen S.M, Trouw R.A.J., Passchier C.W., "Evolution of mica fish in mylonitic rocks". *Tectonophysics* 372 (2003) 1–21.
- [20] Nyman M.W., Law R.D., Smelik, E., "Cataclastic deformation mechanism for the development of core-mantle structures in amphibole", *Geology*, 20 (1992), 455–458.
- [21] Stipp M., Stünitz H., Heilbronner R., Schmid S.M., "The eastern Tonale fault zone: a "natural laboratory" for crystal plastic deformation of quartz over a temperature range from 250° to 700°C ". *Journal of Structural Geology* 24 (2002), 1861–1884.

۴) بررسی روابط سنی سنگ‌ها در منطقه‌ی مورد بررسی بر پایه‌ی اطلاعات موجود بیانگر آن است که زون‌های برشی مورد بررسی در نتیجه‌ی یک مرحله تغییر ساختاری، در بازه‌ی زمانی نوین تا لیاس و تحت تأثیر کوهزایی سیمیرین در توده‌های گرانودیوریتی-تونالیتی ده نو و احیاناً همزمان با جایگزینی این توده‌ها تشکیل شده‌اند.

#### قدرتدانی

این پژوهش حاصل طرح تحقیقاتی به شماره‌ی ۹۵۷/پ مصوب ۸۸/۱۲/۸ است که با حمایت مالی معاونت محترم پژوهشی دانشگاه فردوسی مشهد انجام شده است که بدینوسیله از همکاری ارزشمند آن معاونت قدردانی می‌نماید.

#### مراجع

- [1] Ramsay J.G., Graham R.H., "Strain variation in shear belts", *Canadian Journal of Earth Sciences*, 7 (1970) 786-813.
- [2] Ramsay J.G., "Shear zone geometry: a review". *Journal of Structural Geology*, 2 (1980) 83–101
- [3] Isik V., "The ductile shear zone in granitoid of the Central Anatolian Crystalline Complex, Turkey: Implications for the origins of the Tuzgölü basin during the Late Cretaceous extensional deformation", *Journal of Asian Earth Sciences*, 34 (2008), 507-521.
- [4] Passchier C.W., Trouw R.A.J., "Microtectonics", second ed., Springer, Berlin (2005).
- [5] Sibson R.H., "Fault rocks and fault mechanisms", *Journal of the Geological Society, London* 133 (1977), 191–213.
- [6] Bowden P.B., "A criterion for inhomogeneous plastic deformation". *Philosophical Magazine* 22 (1970), 455-462.
- [7] Poirier J.P., "Shear localization and shear instability in materials in the ductile field". *Journal of Structural Geology*, 2 (1980), 135-142.
- [8] Mancktelow N.S., Pennacchioni G., "The control of precursor brittle fracture and fluid-rock interaction on the development of single and paired ductile shear zones", *Journal of Structural Geology*, 27 (2005), 645-661.
- [9] Segall P., Pollard D.D., "Nucleation and growth of strike slip faults in granite", *Journal of Geophysical Research*, 88 (1983), 555-568.
- [10] Tullis J., Dell'Angelo L., Yund R.A., "Ductile shear zones from brittle precursors in feldspathic rocks: the role of dynamic recrystallization", In: Duba, A., Durham, W., Handin, J., Wang, H.